

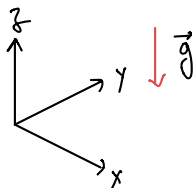
I.

- Dans la galilien, $\frac{d\vec{p}}{dt} = \sum_i \vec{F}_i = \vec{F}$

- $\vec{F}(x, y, z, t) = -\vec{\text{grad}} U(x, y, z, t)$

1.

$$\frac{dp_x}{dt} = F_x = -\frac{\partial U}{\partial x} = 0 \quad p_x \text{ conserve}$$



2.

$$\vec{F} = -\vec{\text{grad}} U(r, t) = F_r(r, t) \hat{e}_r$$

$$\frac{d\vec{L}}{dt} = \vec{r} \hat{e}_r \times \vec{F} = \vec{0} \quad \vec{L} \text{ conserve}$$

3.

$$\begin{aligned} \frac{d\vec{p}}{dt} &= -\vec{\text{grad}} U \\ \underbrace{m \vec{v} \cdot \frac{d\vec{v}}{dt}}_{\frac{dE_C}{dt}} &= -\vec{v} \cdot \vec{\text{grad}} U \\ \frac{dE_C}{dt} & \end{aligned}$$

$$\frac{dU(\vec{r}(t), t)}{dt} = \underbrace{\frac{\partial U}{\partial t}}_0 + \vec{v} \cdot \vec{\text{grad}} U \quad \left(\frac{dE_C}{dt} = -\frac{dU}{dt} \right)$$

$$E = E_C + U \rightarrow \boxed{E = \text{cste}}$$

4.

Symétries et théorème de Noether

- Changement de coordonnées $q_i \rightarrow q'_i(q_i, t)$
- $$EL(\mathcal{L}(q, \dot{q}, t)) = 0 \Leftrightarrow \delta(q, \dot{q}, \ddot{q}, t) = 0$$
- $$EL(\mathcal{L}'(q', \dot{q}', t)) = 0 \Leftrightarrow \delta'(q', \dot{q}', \ddot{q}', t) = 0$$

la transformation est $\Leftrightarrow \delta = \delta'$ $\Leftrightarrow \mathcal{L}'(q'_i, \dot{q}'_i, t) = \mathcal{L}(q_i, \dot{q}_i, t) + \frac{d\mathcal{G}}{dt}(q_i, t)$
une symétrie

$\Delta \quad \mathcal{L}'(q', \dot{q}', t) \equiv \mathcal{L}(q, \dot{q}, t)$ covariance " $EL(\mathcal{L}'(q')) = EL(\mathcal{L}(q)) = 0$ " on omet \dot{q}, \ddot{q}'
invariance " $\mathcal{L}(q') = \mathcal{L}(q) + \frac{d\mathcal{G}}{dt}(q, t)$ "

- symétrie continue, symétrie infinitésimale
ex: matrice de rotation $SO(2) \rightarrow$ matrice antisymétrique

Théorème de Noether:

charge de Noether

terme de bord de l'ipp

$q'_i = q_i + \delta q_i$ symétrie infinitésimale
i.e. $\delta L = L(q + \delta q, \dot{q} + \delta \dot{q}, t) - L(q, \dot{q}, t) = \frac{d\mathcal{F}}{dt} + O(\delta q)$

$\Leftrightarrow Q = \sum_i \frac{\partial L}{\partial \dot{q}_i} \delta q_i - \mathcal{F}$ est une charge conservée
i.e. $\frac{dQ}{dt} = 0$ le long d'une solution de EL

Plus précisément, soit la transformation continue $q_i(s=0) \rightarrow q_i(s)$
alors $\delta q_i = q_i(s) - q_i(0) = s \cdot \frac{dq_i}{ds}$ et $\delta L = L(q(s), \dot{q}(s), t) - L(q(0), \dot{q}(0), t) = \sum_i \frac{\partial L}{\partial q_i} \delta q_i + \frac{\partial L}{\partial \dot{q}_i} \delta \dot{q}_i$

$$\delta L = s \cdot \left(\sum_i \frac{\partial L}{\partial q_i} \frac{dq_i}{ds} + \frac{\partial L}{\partial \dot{q}_i} \frac{d\dot{q}_i}{ds} \right)$$

Preuve : (i) on exprime δL de deux manières

* $\delta L = \frac{d\mathcal{F}}{dt}$ par symétrie de la transformation infinitésimale

* $\delta L = \sum_i \frac{\partial L}{\partial q_i} \delta q_i + \frac{\partial L}{\partial \dot{q}_i} \delta \dot{q}_i = \sum_i \underbrace{\left(\frac{\partial L}{\partial q_i} - \frac{d}{dt} \left(\frac{\partial L}{\partial \dot{q}_i} \right) \right)}_{0 \text{ pour une solution}} \delta q_i + \frac{d}{dt} \left(\frac{\partial L}{\partial \dot{q}_i} \delta q_i \right)$ par le calcul

$$\hookrightarrow \frac{dQ}{dt} = \frac{d}{dt} \left(\frac{\partial L}{\partial \dot{q}_i} \delta q_i - \mathcal{F} \right) = \delta L - \delta L = 0$$

NB : on a fait le même calcul que pour montrer $\delta S = \int_{t_1}^{t_2} \delta L dt = 0 \Leftrightarrow \text{équ. EL}$.
sauf que ici, $\int \delta q(t_1) \neq 0$ on garde le terme de bord de t_1 d'ipp.

Applications

* variables cycliques : L intég de q_i ie $\frac{\partial L}{\partial \dot{q}_i} = 0$

étape 1 calculer δq la transformation $q_j(s) = q_j + s$ conduit à $\delta q_i = \frac{dq_i(s)}{ds} = 1$
 $q_{j\neq i}(s) = q_j$, $j \neq i$

étape 2 calculer δL puis δF $L(q_j(s), \dot{q}_j(s), t) = L(q_j(0), \dot{q}_j(0), t)$ conduit à $F = 0$

↳ $Q = \frac{\partial L}{\partial \dot{q}_i} = p_i$ le moment est conservé

* L indépendant de t . Transformation : $t' = t + s$ $q'_i(t) = q_i(t+s)$

étape 1 : $\delta q_i = q_i(t+s) - q_i(t) = s \cdot \dot{q}_i$

étape 2 : $\delta L = \frac{\partial L}{\partial t} + \frac{\partial L}{\partial q_i} \delta q_i + \frac{\partial L}{\partial \dot{q}_i} \delta \dot{q}_i = s \left(\frac{\partial L}{\partial q_i} \dot{q}_i + \frac{\partial L}{\partial \dot{q}_i} \ddot{q}_i \right) = s \frac{d}{dt} L$

↳ $Q = \sum_i \left(\frac{\partial L}{\partial \dot{q}_i} \dot{q}_i - L \right) = -sL$ l'énergie

* rotation $\vec{q}' = \vec{q} + s \vec{m} \wedge \vec{q}$, $\delta \vec{q} = s \vec{m} \wedge \vec{q}$, $F=0$ si L invariant par rotation

$$Q = \sum_i \frac{\partial L}{\partial \dot{q}_i} \cdot \delta q_i = \vec{p} \cdot \delta \vec{q} = s \vec{p} \cdot (\vec{m}, \vec{q}) = s \underbrace{\vec{m} \cdot (\vec{q} \wedge \vec{p})}_{\vec{L} \cdot \vec{m}}$$

$\vec{L} \cdot \vec{m}$ est conservé. On applique à tout $\vec{m} \rightarrow \vec{L} \cdot \vec{m}$ est conservé.

Propriété du système

espace homogène

espace isotrope

sys. indép du temps

pas d'identité propre des particules

pas de référence de phase pour les particules chargées

$$\sqrt{d} \frac{1}{r}$$

Invariance associée

translation dans l'espace

rotation dans l'espace

translation dans le temps

permutation des particules identiques

changement de phase

$$SO(4)$$

Quantité conservée

impulsion

moment cinétique

énergie

statistique de Fermi-Dirac, Bose-Einstein

charge électrique

vecteur de Runge-Lenz

Problème à deux corps

Highlights

- * le problème à deux corps se ramène au problème à 1 corps à 1 degré de liberté
- * Hyp : les corps sont assimilables à une masse ponctuelle
Pour l'appliquer à {Terre + satellite}, il faut négliger
 - (i) la non sphéricité
 - (ii) la rotation propre

6 variables

1 variable

Idees

6 variables

$$\vec{r}_1(t), \vec{r}_2(t)$$

invariantes

translation dans l'espace

invariants

$$\vec{p}$$

rotation / symétrie sphérique $SO(3)$

translation dans le temps

$$\vec{L}$$

2 intos:

- mult plan

$$H$$

- $V_{eff}(r)$

6 variables

$$\vec{r}_1, \vec{r}_2$$

3 variables

$$\vec{r}$$

1 variable

$$r$$

équations sur r

si plo de Kepler $V(r) = \frac{1}{r}$

rotation dans un espace 4D $SO(4)$

"particule sur 3-sphère"

vecteur de

Ranger-Lenz

→ trajectoires

fermées

Approche [Wikipedia, Brasselet PCSI]

Position du problème : R₀ réf. galiléen d'origine O. 2 particules ponctuelles **isolées** $\begin{cases} \vec{r}_1 = \vec{O}M_1 \\ \vec{r}_2 = \vec{O}M_2 \end{cases}$, masses m₁, m₂.

Changement de variable

$$\begin{cases} \vec{r}_1, \vec{r}_2 \\ \vec{p}_1, \vec{p}_2 \end{cases}$$

→

variables du centre de masse

$$\vec{R} = \frac{m_1 \vec{r}_1 + m_2 \vec{r}_2}{m_1 + m_2}$$

déplacement relatif

$$\vec{r} = \vec{r}_2 - \vec{r}_1$$

$$\vec{p} = \vec{p}_1 + \vec{p}_2$$

$$\vec{p} = \nu \frac{d\vec{r}}{dt} = \vec{p}_2 - \frac{m_2}{m_1 + m_2} \vec{p}, \quad \nu = \frac{m_1 m_2}{m_1 + m_2}$$

$$\begin{cases} m_1 \ddot{\vec{r}}_1 = \vec{F}_{21} \\ m_2 \ddot{\vec{r}}_2 = \vec{F}_{12} \end{cases}$$

→

$$\begin{cases} (m_1 + m_2) \ddot{\vec{R}} = \vec{0} \\ \nu \ddot{\vec{r}} = \vec{F}_{21} \end{cases}$$

Calcul : $\nu \frac{d\vec{r}}{dt} = \frac{m_1 m_2}{m_1 + m_2} (\vec{r}_2 - \vec{r}_1) = \frac{m_1 \vec{p}_2}{m_1 + m_2} - \frac{m_2 \vec{p}_1}{m_1 + m_2} = \vec{p}_2 - \frac{m_2}{m_1 + m_2} \cdot \vec{p}$

$$\vec{p}_1 = \vec{p} - \vec{p}_2$$

Approche lagrangienne

$$\mathcal{L} = \frac{1}{2} m_1 \dot{\vec{r}}_1^2 + \frac{1}{2} m_2 \dot{\vec{r}}_2^2 + V(\vec{r}_2 - \vec{r}_1) = \frac{1}{2} M \dot{\vec{R}}^2 + \underbrace{\frac{1}{2} \nu \dot{\vec{r}}^2}_{\text{particule fictive}} + V(\vec{r})$$

$$\text{car } M \dot{\vec{R}} + \nu \dot{\vec{r}} = \frac{1}{M} (m_1 \dot{\vec{r}}_1^2 + m_2 \dot{\vec{r}}_2^2 + 2m_1 m_2 \dot{\vec{r}}_1 \dot{\vec{r}}_2) + \frac{m_1 m_2}{M} (\dot{\vec{r}}_2 + \dot{\vec{r}}_1 - 2\vec{r}_2 \cdot \vec{r}_1) = m_1 \dot{\vec{r}}_1^2 + m_2 \dot{\vec{r}}_2^2$$

en lagrangien invariant par translation

Conclusion :

- * {1+2} isolé → le centre de masse a un mouvement rectiligne uniforme
- * on le ramène à une particule fictive de masse $\nu = \frac{m_1 m_2}{m_1 + m_2}$ qui subit une force \vec{F}_{12}

- * en résolvant \vec{r} , on repart à \vec{r}_1 et \vec{r}_2 par homothétie

$$\begin{cases} \vec{r}_1 = \vec{R} - \frac{m_2}{m_1 + m_2} \vec{r} \\ \vec{r}_2 = \vec{R} + \frac{m_1}{m_1 + m_2} \vec{r} \end{cases}$$

Cas d'une force centrale

- conservation du moment cinétique
↓
planète de la trajectoire
- loi des aires
 $\frac{dt}{dt} = \frac{L}{2\mu} = \frac{C}{2}$
- conservation de l'énergie
↓
problème réduit à 1D, $U_{\text{eff}}(r)$

$$\frac{d\vec{L}}{dt} = \vec{r} \times \vec{F} = \vec{0} \quad \vec{r} \times \vec{p} = \vec{L} = \text{cte}$$

(\vec{r}, \vec{p}) dans un plan constant généré par $(\vec{r}(t=0), \vec{p}(t=0))$

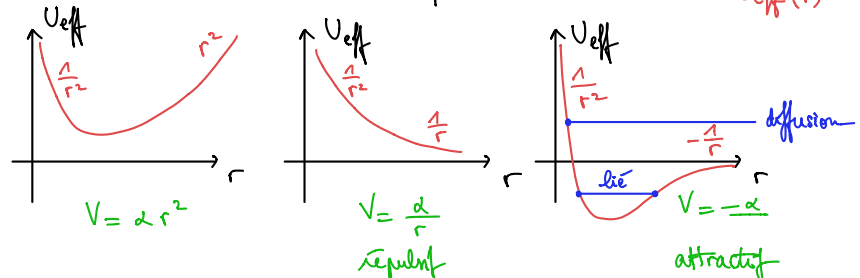
dans les coordonnées cylindriques d'axe $\vec{z} \parallel \vec{L}$,
 $\vec{L} = p(r\vec{e}_r) \times (r\vec{e}_r + r\dot{\theta}\vec{e}_\theta) = p r^2 \dot{\theta} \vec{e}_z$

$$dA = \frac{1}{2} r^2 d\theta \quad \rightarrow \quad \frac{dt}{dt} = \frac{L}{2\mu} = \frac{C}{2}$$

πr^2 au total
 $H = \frac{1}{2} p \vec{r}^2 + V(r) = \frac{1}{2} p (\vec{r}^2 + r^2 \dot{\theta}^2) + V(r) = \frac{1}{2} \frac{L^2}{\mu r^2} + V(r) + \frac{L^2}{2\mu r^2}$

répulsif

$U_{\text{eff}}(r)$



Vecteur du hunge - Lenz

$$\vec{e}_r = -\frac{d\vec{e}_\theta}{d\theta}$$

Avec le PFT, on écrit $p \frac{d\vec{v}}{dt} = -\frac{K}{r^2} \vec{e}_r = +\frac{K}{r^2} \frac{d\vec{e}_\theta}{d\theta} = +\frac{K}{r^2 \dot{\theta}} \frac{d\vec{e}_\theta}{dt}$

$$\hookrightarrow \frac{d\vec{v}}{dt} = \frac{K}{L} \frac{d\vec{e}_\theta}{dt} \quad \text{ie} \quad \frac{d}{dt} \left(\vec{v} - \frac{K}{L} \vec{e}_\theta \right) = 0$$

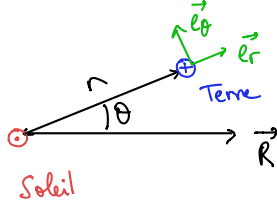
↪ en intégrant, le vecteur excentricité en constante

$$\vec{e} = \frac{L}{K} \vec{v} - \vec{e}_\theta \quad \boxed{\text{vecteur excentricité}} \quad \|\vec{e}\| = e$$

On définit alors

$$\vec{R} = \frac{K}{L} \vec{e} \times \vec{L} = \vec{v} \times \vec{L} - K \vec{e}_r \quad \boxed{\text{vecteur de hunge-Lenz}}$$

Trajectoire elliptique



$\vec{R} \cdot \vec{L} = 0 \rightarrow \vec{R}$ dans le plan du mouvement

$$\begin{aligned} \vec{R} \cdot \vec{p} &= (\vec{v} \times \vec{L}) \cdot \vec{r} - K \vec{e}_r \cdot \vec{r} \\ &= (\vec{v} \times (m \vec{v} \times \vec{r})) \cdot \vec{r} - K r \\ &= m |\vec{v} \times \vec{r}|^2 - K r \end{aligned}$$

$$r v \cos \theta = \frac{L^2}{m} - K r$$

pointe vers
le périhélie

Trajectoire conique

$$r = \frac{p}{1 + e \cos \theta}$$

avec $e = \frac{R}{L}$, $p = \frac{L^2}{mK} = \frac{L^2}{q m^2 M}$

complétion
moment
cinétique/
gravitation

taille de
la conique

Si $e < 1$, la trajectoire est liée et elliptique, avec le Soleil à un foyer

- $e > 1$ hyperbole états libres
- $e = 1$ parabole $\leftarrow 2^e$ et 3^e vitesses cosmiques
- $0 < e < 1$ ellipse
- $e = 0$ circulaire $\leftarrow 1^e$ vitesse cosmique

Valeurs numériques

pour l'orbite de la Terre

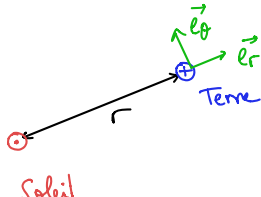
$e = 0.017 < 1$ quasi-circulaire

$p = 1.5 \cdot 10^{11} \text{ m} \simeq 1 \text{ u.a. unité astronomique}$

Objectif : on met en évidence une propriété importante du problème à 1 et 2 corps gravitationnel : l'invariance du vecteur de Runge-Lenz, dont dépendent les trajectoires fermées elliptiques.

Système : Terre $\oplus \{$

Référentiel : de Copernic considéré galiléen



Hypothèse : comme $\frac{m_{\oplus}}{m_{\odot}} \sim 10^{-6} \ll 1$, on considère le soleil \odot immobile

Rappel : le moment cinétique $\vec{L} = m_{\oplus} \vec{r} \times \vec{v} = L \vec{e}_{\theta}$ est conservé
la trajectoire est plane, perpendiculaire à \vec{e}_{θ}

En appliquant la 1^e loi de Newton, en coordonnées cylindriques

$$m_{\oplus} \frac{d\vec{v}}{dt} = -\frac{G m_{\oplus} m_{\odot}}{r^2} \vec{e}_r = + \frac{K}{r^2} \frac{d\vec{e}_{\theta}}{d\theta} = + \frac{K}{r^2 \dot{\theta}} \frac{d\vec{e}_{\theta}}{dt}$$

$$\hookrightarrow \frac{d\vec{v}}{dt} = \frac{K}{L} \frac{d\vec{e}_{\theta}}{dt} \quad \text{ie} \quad \boxed{\frac{d}{dt} \left(\vec{v} - \frac{K}{L} \vec{e}_{\theta} \right) = 0}$$

↪ en intégrant,

$$\vec{e} = \frac{L}{K} \vec{v} - \vec{e}_{\theta} \quad \boxed{\text{vecteur excentricité est constant}} \quad \|\vec{e}\| = e$$

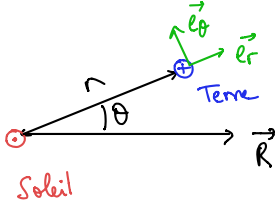
On définit alors

le vecteur de Runge-Lenz qui est constant :

$$\vec{R} = \frac{K}{L} \vec{e} \times \vec{L} = \vec{v} \times \vec{L} - K \vec{e}_r$$

Trajectoire elliptique

sur transparent



$\vec{R} \cdot \vec{L} = 0 \rightarrow \vec{R}$ dans le plan du mouvement

$$\begin{aligned} \vec{R} \cdot \vec{r} &= (\vec{v} \times \vec{L}) \cdot \vec{r} - K \vec{e}_r \cdot \vec{r} \\ &= (\vec{v} \times (m \vec{v} \times \vec{r})) \cdot \vec{r} - K r \\ &= m |\vec{v} \times \vec{r}|^2 - K r \end{aligned}$$

$$r \cdot r \cos \theta = \frac{L^2}{m} - K r$$

Trajectoire conique

$$\boxed{r = \frac{p}{1 + e \cos \theta}}$$

$$\text{avec } e = \frac{R}{K}, \quad p = \frac{L^2}{m K} = \frac{L^2}{G m^2 M}$$

pointe vers le périhélie

complétion moment cinétique/gravitation

taille de la conique

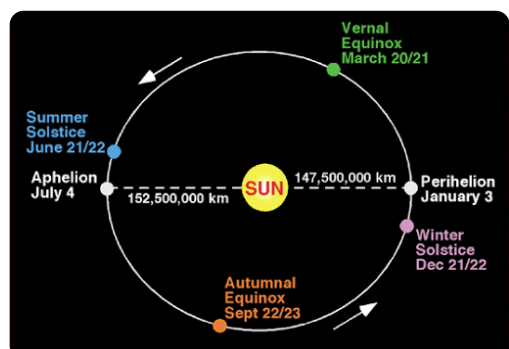
Si $e < 1$, la trajectoire est liée et elliptique, avec le Soleil à un foyer

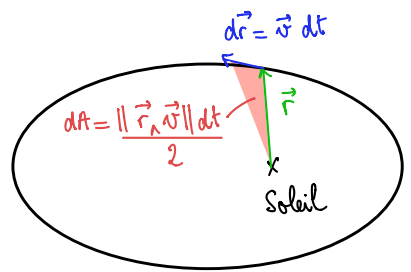
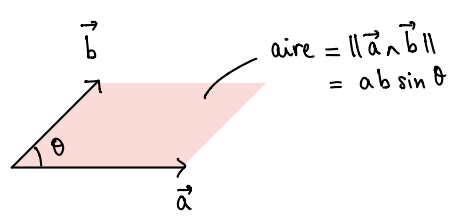
Valeurs numériques

$$e = 0.017 < 1 \quad \text{quasi-circulaire}$$

$$p = 1.5 \cdot 10^{11} \text{ m} \approx 1 \text{ u.a unité astronomique}$$

pour l'orbite de la Terre





Compléments

Potentiel septien en $\frac{1}{r}$

- Invariance du vecteur de Runge-Kutta $\vec{e} = \frac{\dot{\vec{r}} \times \vec{L}}{GMr^2} - \vec{e}_r$ → trajectoires fermées
- Trajectoire conique $r = \frac{p}{1 + e \cos \theta}$
 - $e > 1$ hyperbole → états libres
 - $e = 1$ parabole ← 2^e et 3^e vitesses cosmiques
 - $0 < e < 1$ ellipse
- Lois de Kepler. Écarts : * influence des autres astres
* écart à la sphéricité
- 3 vitesses cosmiques
- trajectoires hyperboliques et angle de diffusion ($i = 0$ ie \vec{v} orthoradial à r_{\min})

Résolution analytique

À partir de l'intégrale première du mouvement H , on sépare les variables,

$$\dot{r} = \frac{dr}{dt} = \sqrt{\frac{2}{p}(H - V(r)) - \frac{L^2}{r^2}}$$

$$t - t_0 = \int_{r_0}^r \frac{dr'}{\sqrt{\frac{2}{p}(H - V(r')) - \frac{L^2}{r'^2}}}$$

Avec l'intégrale première du mouvement L ,

$$\dot{\theta} = \frac{L}{p r^2} \rightarrow d\theta = \frac{L}{p r^2} dt = \frac{\frac{L}{r^2}}{\sqrt{\frac{2p(H-V(r)) - L^2}{r^2}}}$$

$$\theta - \theta_0 = \int_{r_0}^r \frac{dr'}{\sqrt{\frac{L}{r'^2} - \frac{2p(H-V(r')) - L^2}{r'^2}}}$$

Trajectoires possibles : selon $H > 0$, $H = 0$, $H < 0$, trajectoires liées ou libres

Si le mouvement est périodique, on obtient la période avec

Théorème de Bertrand : seuls les potentiels Newtonien $\propto \frac{1}{r}$ harmoniques $\propto r^2$ conduisent à des trajectoires fermées

$$\frac{T}{2} = \int_{r_{\min}}^{r_{\max}} \frac{dr'}{\sqrt{\frac{2}{p}(H - V(r')) - \frac{L^2}{r'^2}}}$$